



Instituto Tecnológico
GeoMinero de España

INFORMACION COMPLEMENTARIA

VILLADIEGO
HOJA Nº (166)-18/9

ALBUM DE FOTOGRAFIA



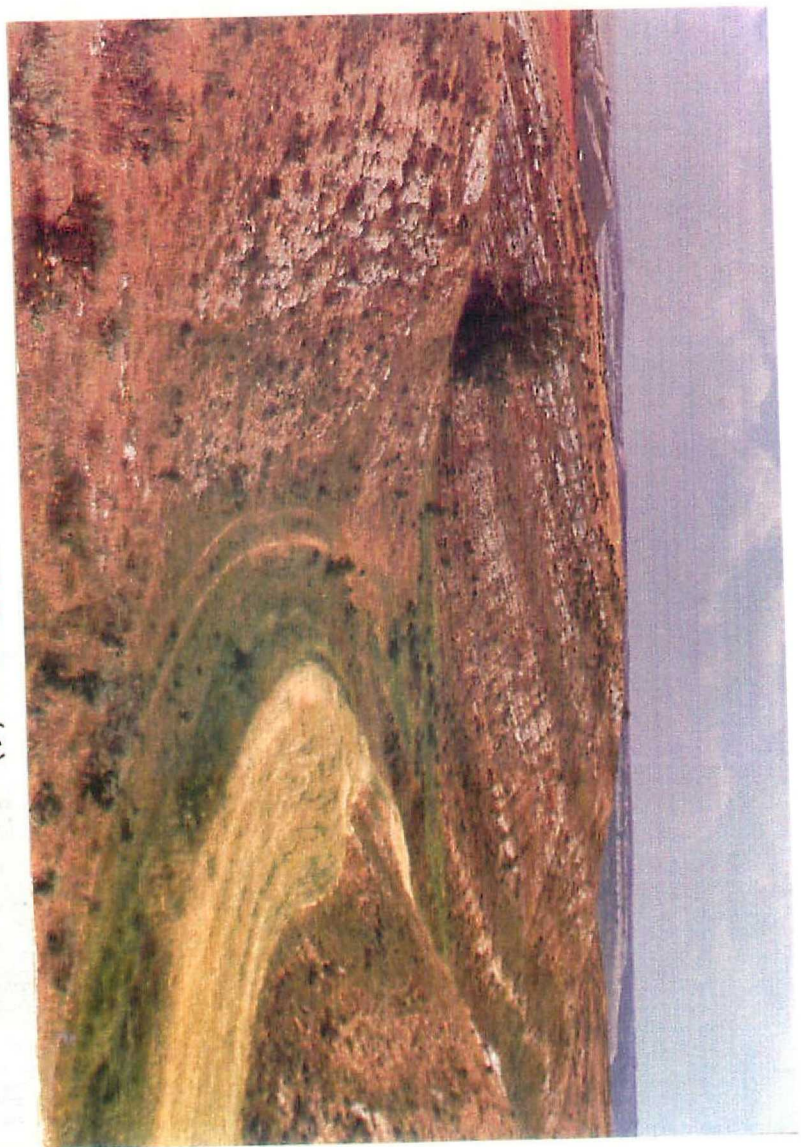
MINISTERIO DE INDUSTRIA Y ENERGIA



18-9-EP-PV-9500.- Afloramientos de Lías dolomítico (2, en mapa).

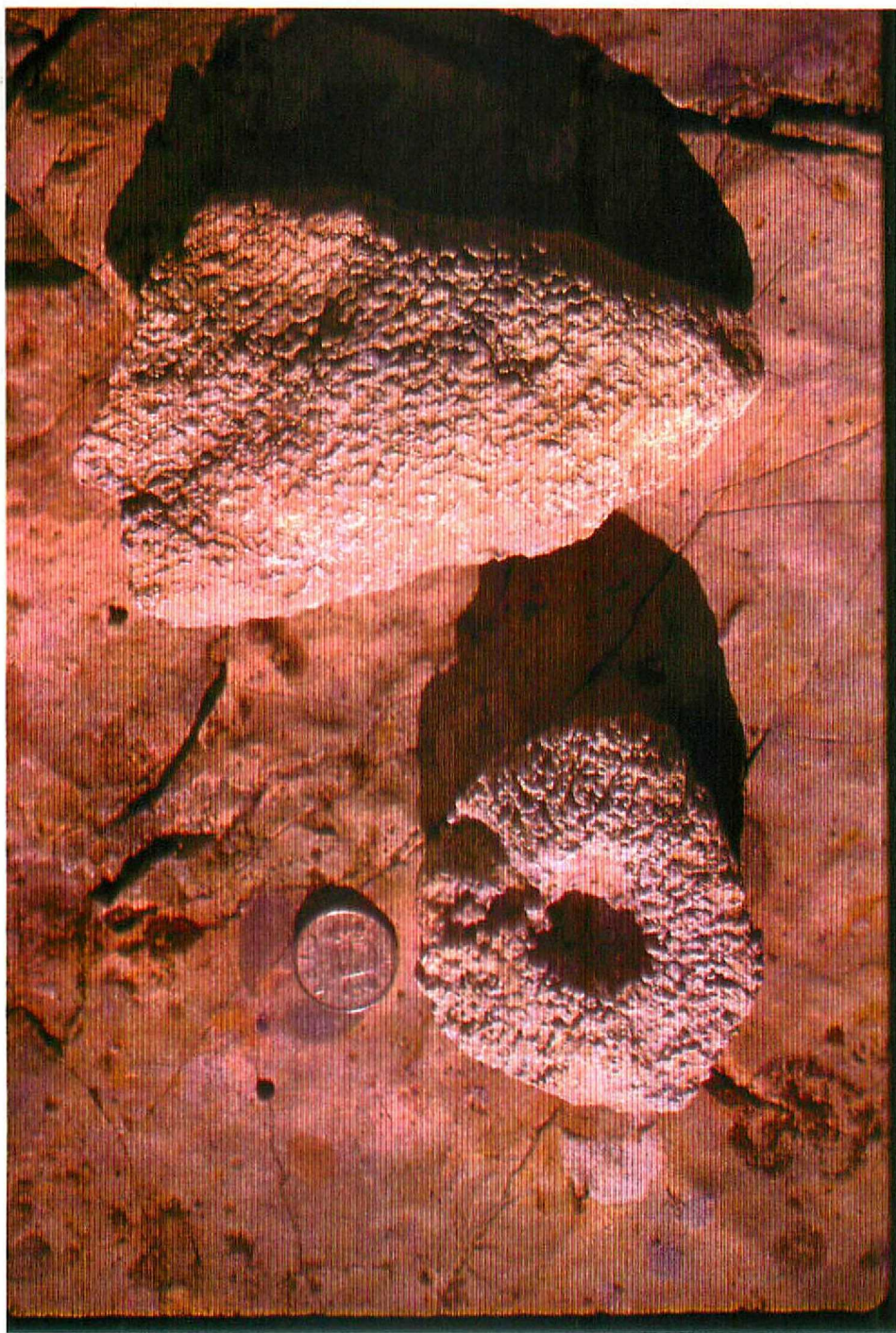


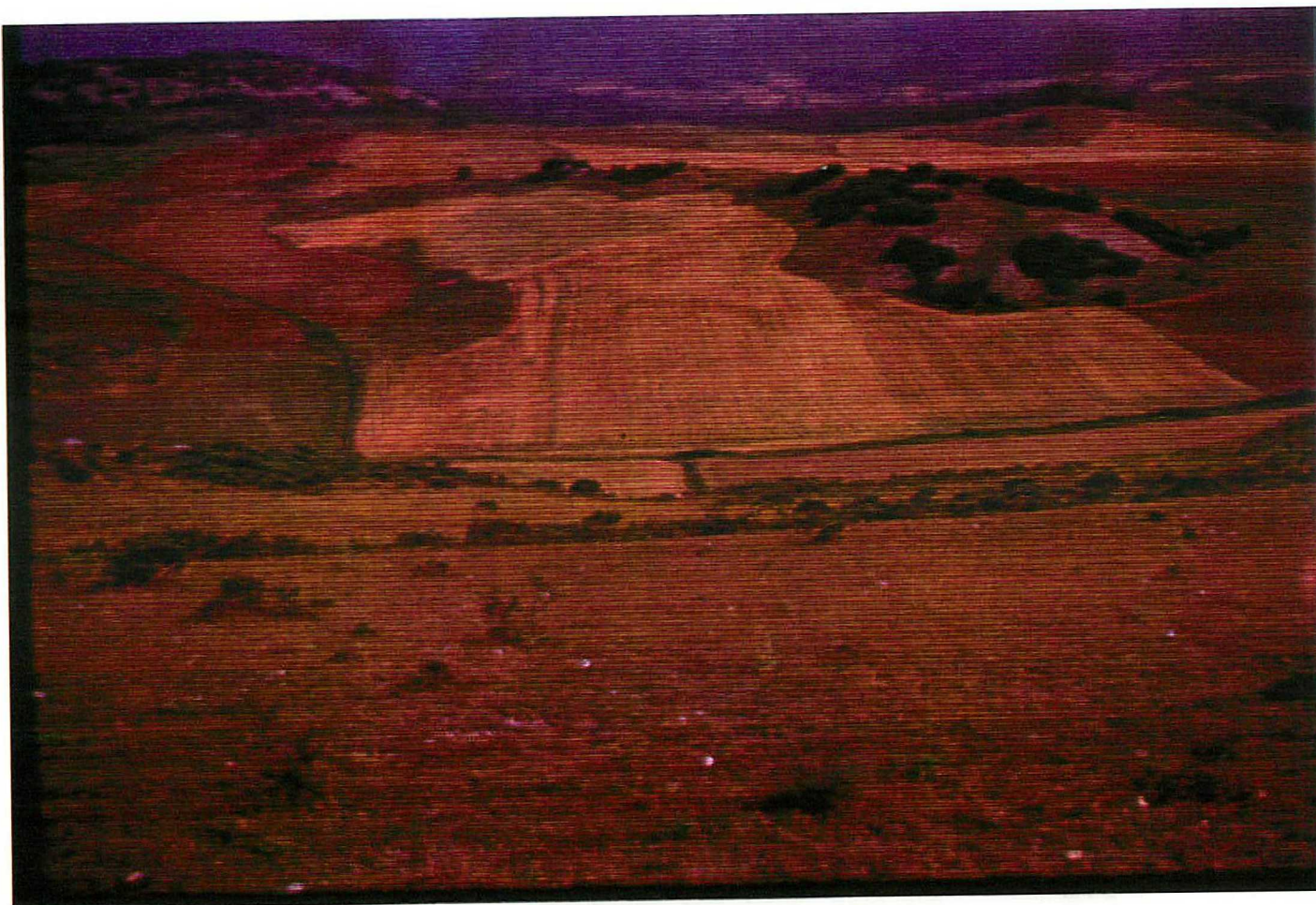
18-9-EP-PV-9501.- Margocalizas del Pliensbachiano-Toarciano (3)



18-9-EP-PV-9502.- Calizas del Dogger (4)

18-9-EP-PV-9503.- Esponjas. Dogger.





18-9-EP-PV-9504.- Areas blandas con afloramientos de arcillas rojas
(5) y calizas (6) del Purbeck.

18-9-EP-PV-9505.- Conglomerado del Purbeck basal



18-9-EP-PV-9506.- Calizas del Purbeck (6) con oncoïdes ferruginosos.





18-9-EP-PV-9507.- La sucesión cretácia en el norte de la Hoja vista hacia al norte. En primer término, arenas silíceas del Weald (7).



18-9-EP-PV-9508.- Arenas y arcillas ("Capas de Utrillas", 8) y encima
margas y serie calcáreo-dolomítica del Cretácico
Superior. Peña Amaya (NO. Hoja).



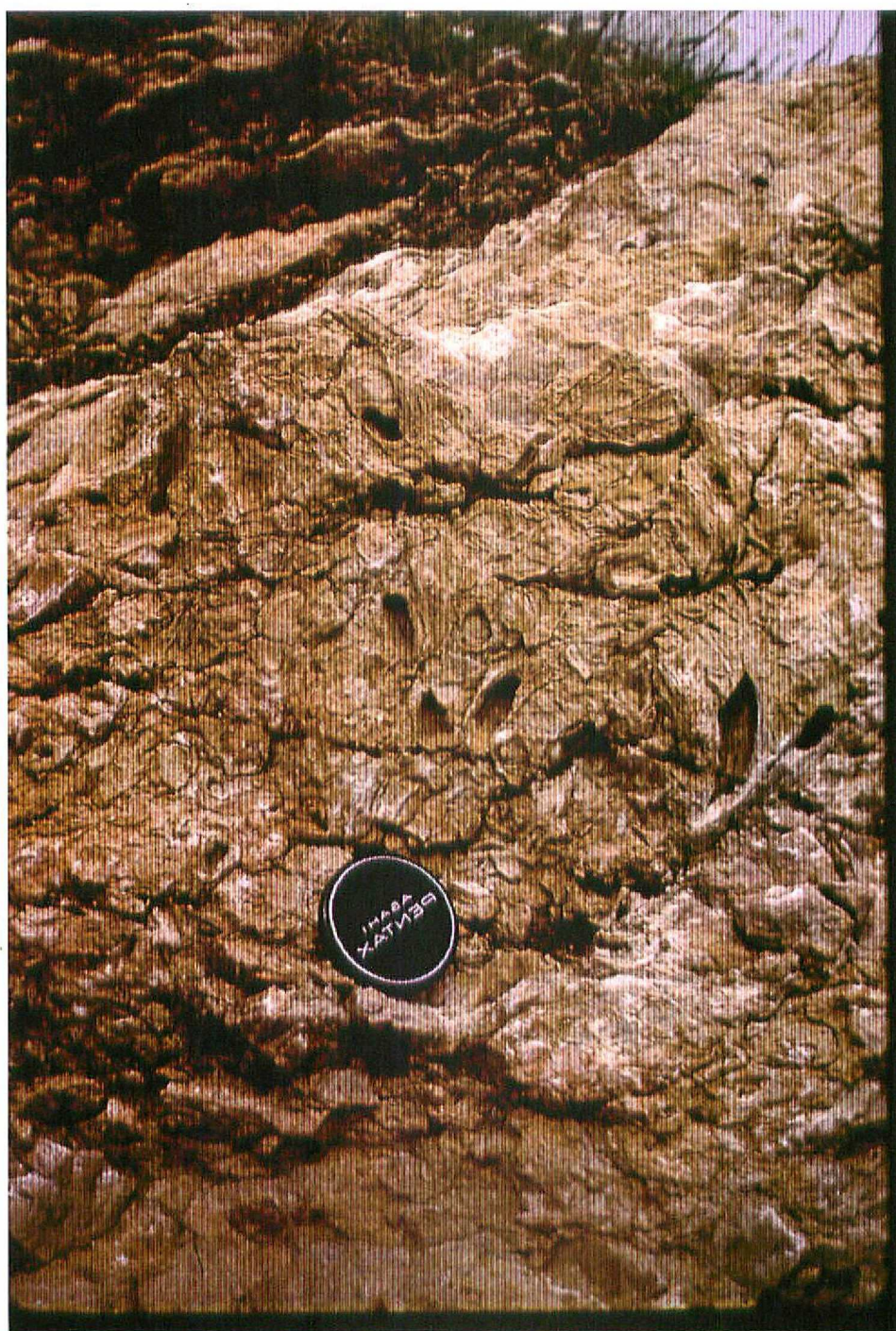
18-9-EP-PV-9509.- La sucesión del Cretácico Medio y Superior en Peña Amaya. De abajo a arriba, calizas y margas del Cenomaníense (9), Calizas y dolomías del Turoniense-Coniaciense (primera barra calcárea, 10), margas del Santoniense inferior (11) y en calizas con miliólidos y lacazinas del Santoniense medio (12).



18-9-EP-PV-9510.- Rudistas en posición de vida. Techo de capa. Calizas del Turoniano-Coniaciense (10).



18-9-EP-PV-9511.- Dolomías del Santoniense Superior-Campaniense (13).



18-9-EP-PV-9512.- Rudistas en posición de vida. Sección de capa.

Calizas del Campaniense (14)



18-9-EP-PV-9513.- Conglomerados oligomiocenos



18-9-EP-PV-9514.- Conglomerados calcáreos (F. Alar del REy, 20) discordantes sobre calizas del Santoniense medio (12).

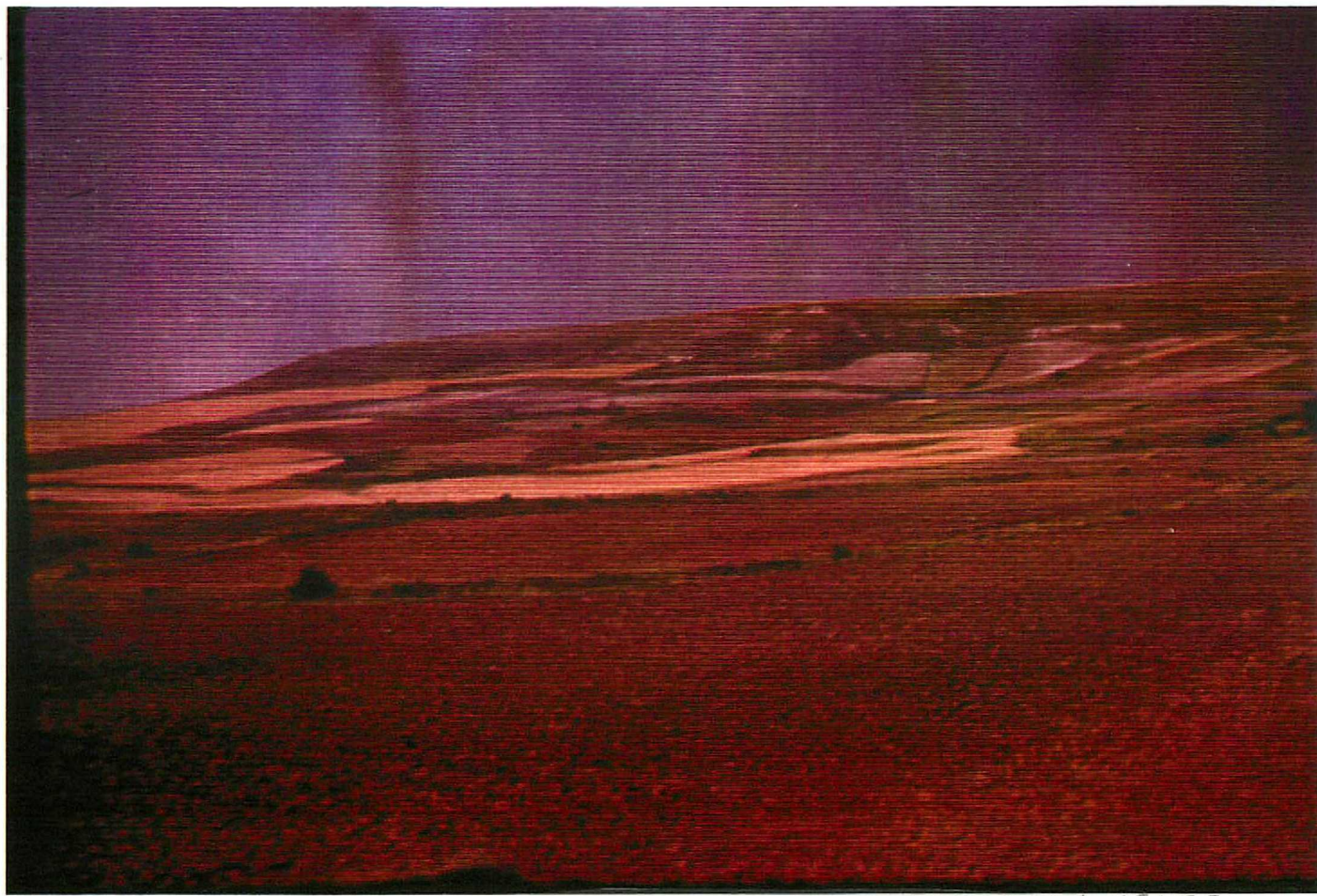


18-9-EP-PV-9515.- La F. Alar del Rey (20) dispuesta encima de margas
(ASTARACIENSE-AGENIENSE)
blancas atribuibles a la F. Dueñas (18). ASTARACIENSE - AGENIENSE



ASTARACIENSE - AGE NIENSE

18-9-EP-PV-9516.- La F. Alar del Rey (20) en facies más distal, con predominio de arcillas.



18-9-EP-PV-9517.- La sucesión miocena: F. Grijalba-Villadiego (18, en
primer término), F. Cuestas y encima F. Páramo.

VALCESIENSE

TUROLIENSE- PLIOCENO ?



18-9-EP-PV-9518.- Paleocanal conglomerático en la F. Grijalba-Villa-
diego ASTARACIENSE No situado en el mapa



18-9-EP-PV-9519.- Sección de quelonio en arcillas de la F. Grijalba-
Villadiego. ASTURACIENSE No situada en el mapa

18-9-EP-PV-9520.- Caliche (19) desarrollado sobre arcillas rojizas en la zona de interacción entre las F. Alar del Rey y Grijalba-Villadiego. ASTARACIENSE





18-9-EP-PV-9521.- Moldes de raíces (de juncáceas) en las calizas
"terminales" de la F. Cuestas

VALLESIENSE



18-9-EP-PV-9522.- La sucesión del Mioceno Superior, de abajo a arri-
ba.: margas blancas de la F. Cuestas (21), calizas
"terminales" de Cuestas (22), arcillas pardas (23)
de la F. Páramo y, por último, calizas (24) de la
F. Páramo. *TUROLIENSE - PLIOGENO?*



18-9-EP-PV-9523.- "Hard ground" ferruginoso en el techo de las calizas "terminales" de Cuestas (22). *VALLESIENSE*



18-9-EP-PV-9524.- Paleocanal conglomerático silíceo en las arcillas pardas (23) de la F. Páramo. TUROLIENSE-PLIOGENO?



18-9-EP-PV-9525.- Relleno complejo de un Fondo de Valle: sucesiones
de gravas y arcillas oscuras que pueden graduar a
turbas.



18-9-EP-PV-9526.- Flanco norte del sinclinal de Ulaña, definido por
las calizas y dolomías del Turoníense-Griaciense
(10).



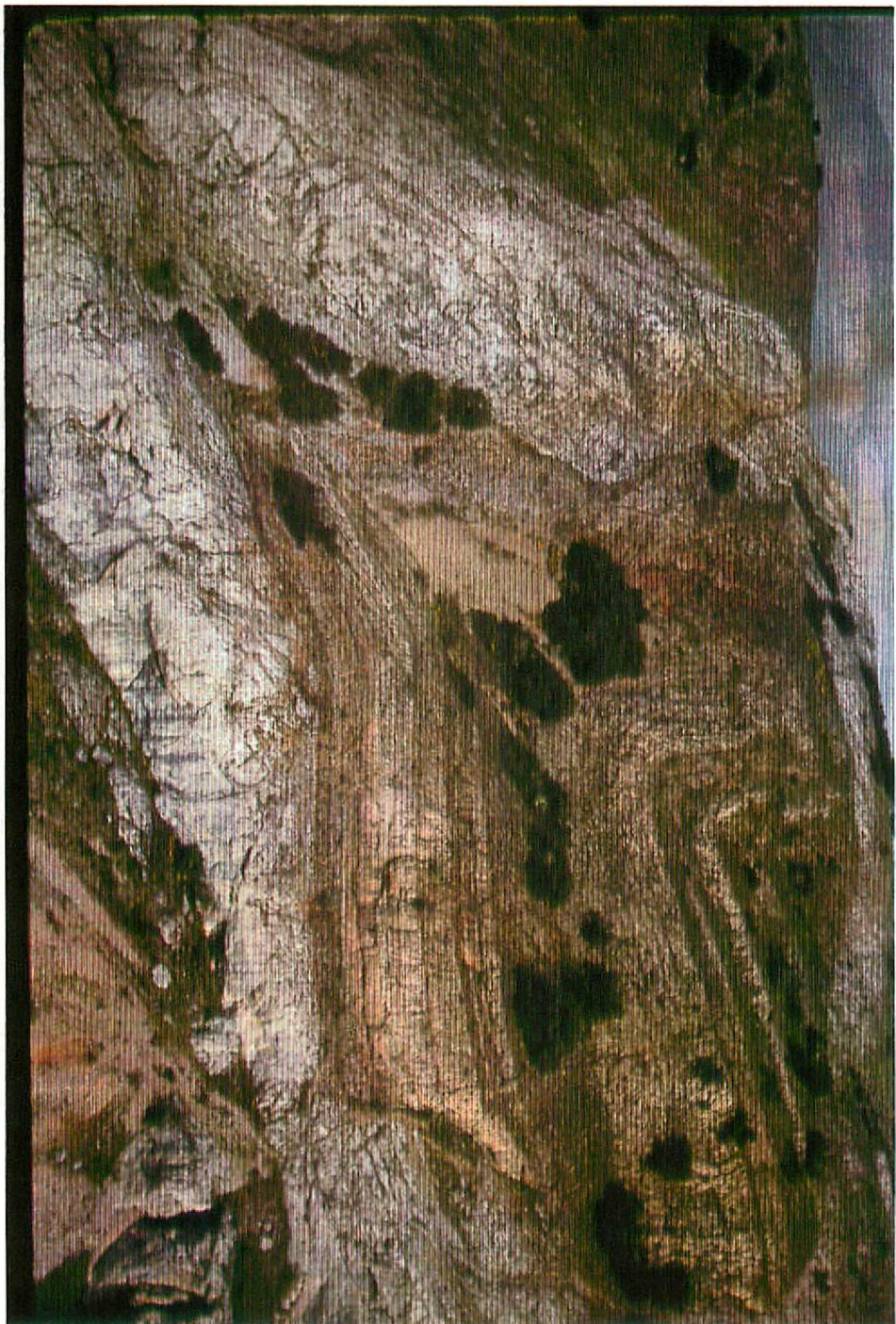
18-9-EP-PV-9527.- Verticalización progresiva de las calizas del Turo
niense-Coniaciense (10) en el flanco norte del
anticlinal de Humada (Norte de la Hoja).

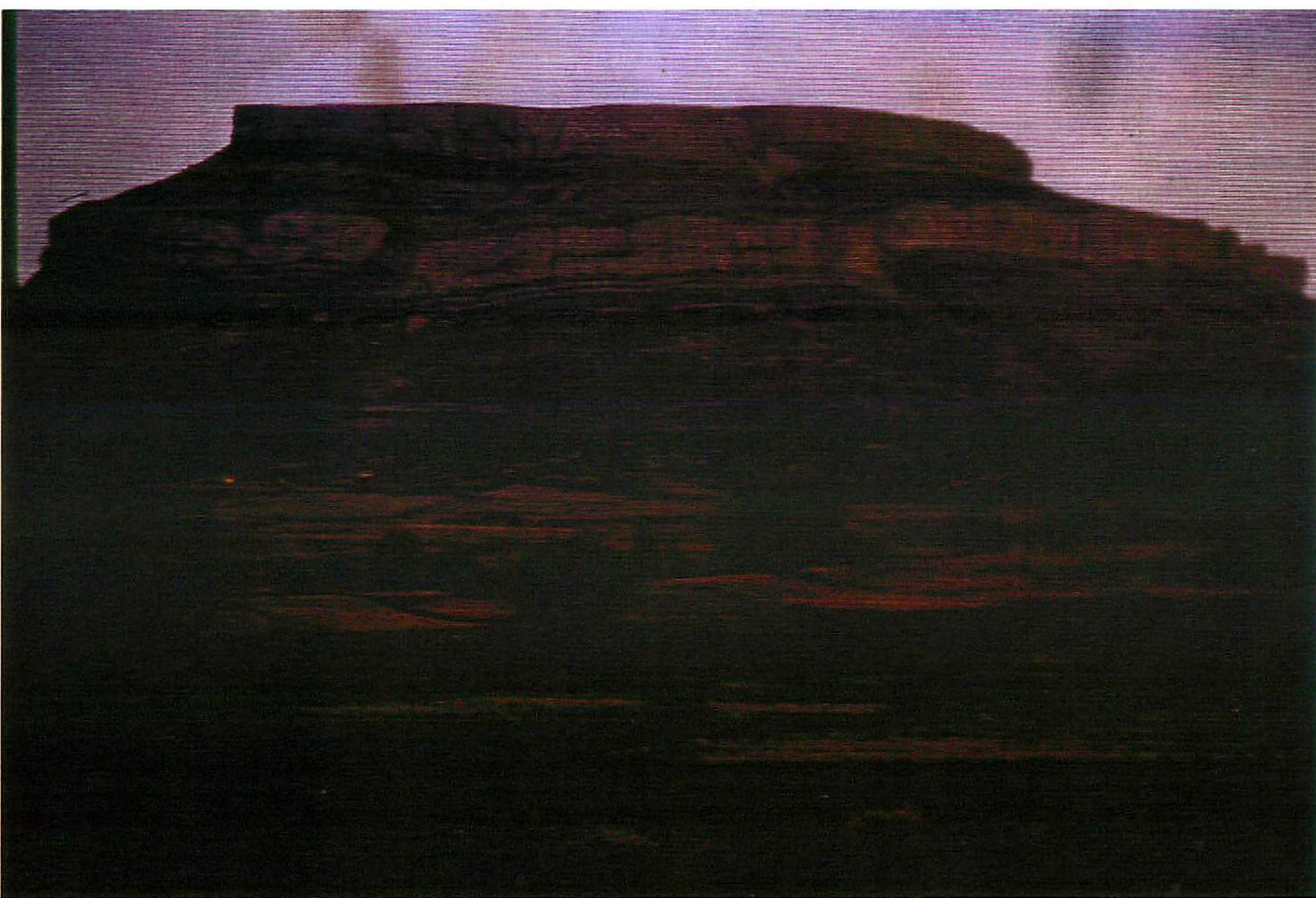
18-9-EP-PV-9528.-

Contacto por fractura, ligeramente cabalgante, del
Lías dolomítico (2, a la derecha) con las calizas
del Cretácico Superior.



18-9-EP-PV-9529.- Sinclinal definido por las dolomías (13) y calizas de Lacazinas (12) del Cretácico Superior.





18-9-EP-PV-9530.- Probable caída gravitacional de la barra calcárea
Turoníense-Coniacíñese (10) a favor de fracturas
laterales, en Peña Amaya (NO Hoja)



18-9-EP-PV-9531.- El cabalgamiento de Rioparaíso visto hacia el Sur.

Calizas y dolomías del Turoniense-Coniaciense (10)

montando sobre los conglomerados oligomiocenos (15)



18-9-EP-PV-9532.- El cabalgamiento de Rioparaíso visto hacia el Nor-
te. Calizas y dolomías del Tumonense-Coniacinese
(10) montando sobre los conglomerados oligomiocenos
(15).



Cabalgamiento dentro de los conglomerados olimioce-
nos (15).

18-9-EP-PV-9533.-



18-9-EP-PV-9534.- Fractura NNO-SSE, con ligera componente inversa
entre las dolomías liásicas (2) y la F. Alar del
Rey (20). ASTARACIENSE-AGENIENSE



18-9-EP-PV-9535.- Fractura entre las "Capas de Utrillas" (8, a la ASTARACIENSE-AGENIENSE izquierda) y la F. Alar del Rey (4, a la derecha).
La fractura está sellada por las margas (21) de la
F. Cuestas. VALLESIENSE



18-9-EP-PV-9536.-- La superficie S1, desarrollada tanto sobre conglomerados oligomicenos como sobre calizas cretácicas. Obsérvese cómo decapita el contacto cabalgante de las segundas sobre las primeros. Zona de Rioparafíso.



18-9-EP-PV-9537.- En primer término, la superficie S2 erosiva sobre Mesozoico. Y al fondo a la derecha, la S1 conservada en la cumbre de Peña Amaya.



18-9-EP-PV-9538.- La superficie de los Páramos. Al fondo los relieves
de la Orla Vasco-Cantábrica.



18-9-EP-PV-9539.- Sistemas de terrazas fluviales en los alrededores
de Sotresgudo.



18-9-EP-PV-9540.- La captura del curso alto del río Hormazuela (del fondo a la derecha de la foto) por el Brullés (hacia la izquierda).



18-9-EP-PV-9541.- Desprendimientos en Humada (Norte Hoja)



18-9-EP-PV-9542.- Manantiales bajo las calizas "terminales" de Cuestas. *VALLESIENSE*





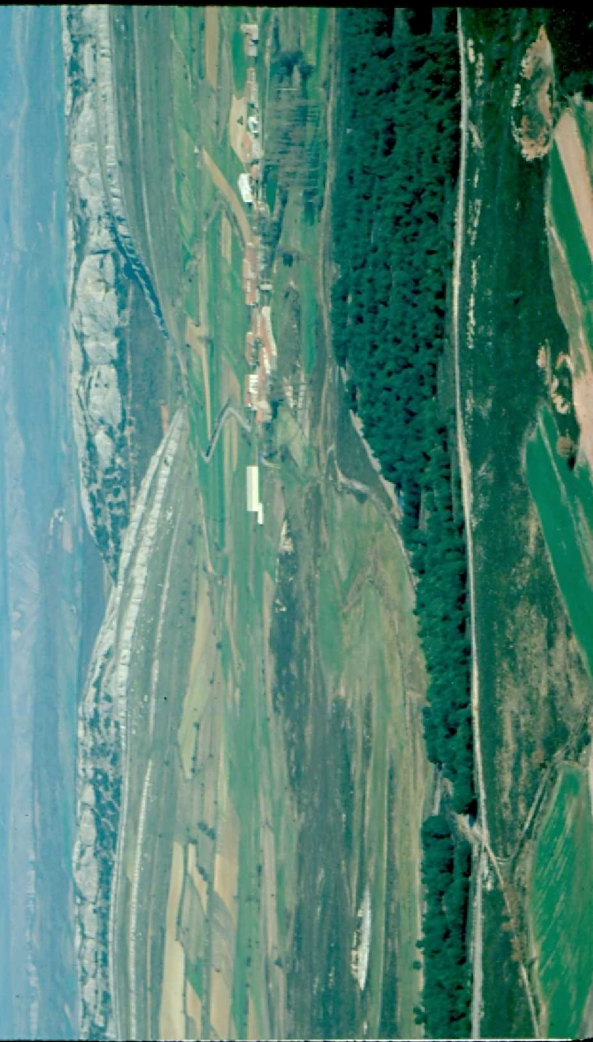




















10 27

















